

*Рис. 3. Визуализированные волновые фронты для разных фазовых объектов: сферической линзы (а) и пластиинки с переменной толщиной (б)*

лянной пластиинки с произвольно меняющейся толщиной (б). Оценивая полученные изображения, следует иметь в виду, что в выходном сигнале приемников присутствовала постоянная составляющая, которая после интегрирования давала линейный рост напряжения.

Таким образом, проведенные исследования показали, что на основе АО-взаимодействия можно создать эффективные датчики волнового фронта, сочетающие высокое пространственное и угловое разрешение с большой скоростью обработки информации.

#### СПИСОК ЛИТЕРАТУРЫ

1. Балакший В. И., Парыгин В. Н., Чирков Л. Е. Физические основы акустооптики.— М.: Радио и связь, 1985.
2. Балакший В. И., Парыгин В. Н., Уласена Х. А. О возможности регистрации фазовой структуры светового поля акустическим методом // Квантовая электрон.— 1981.— 8, № 4.
3. Балакший В. И. Анализ и синтез объемных изображений // Радиотехника и электроника.— 1982.— 27, № 7.
4. Балакший В. И., Кукушкин А. Г., Торговкил М. Ю. Регистрация фазовой структуры светового поля с использованием селективных свойств анизотропной брэгговской дифракции // Радиотехника и электроника.— 1987.— 32, № 4.
5. Мирошников М. М. Теоретические основы оптико-электронных приборов.— Л.: Машиностроение, 1983.

*Поступила в редакцию 19 января 1990 г.*

УДК 621.383

В. Б. ЗАЛЕССКИЙ, А. Ю. КУЛИКОВ, С. А. МАЛЫШЕВ, В. Р. ПАН  
(Минск)

#### КИНЕТИКА ИМПУЛЬСОВ ФОТООТВЕТА ЛАВИННЫХ МДП-ФОТОПРИЕМНИКОВ ПРИ ПОСТОЯННОМ НАПРЯЖЕНИИ СМЕЩЕНИЯ

Одним из наиболее перспективных видов фотоприемных элементов для систем автоматики и связи, обеспечивающих высокие значения чувствительности и быстродействия среди твердотельных приборов с внутренним усилением, являются лавинные фотодиоды.

В ряде работ [1—4] рассмотрены лавинные МДП-фотоприемники, в которых в значительной степени устранены недостатки, присущие лавинным  $p-n$ -фотодиодам, такие, как микроплазменный характер пробоя и необходимость высокой стабилизации питающего напряжения и температуры, и сочетаются высокая пороговая чувствительность и коэффициент усиления фототока с низкими требованиями к стабильности напряжения питания [1]. Следует отметить, что лавинные МДП-фотоприемники такого типа работают в импульсном режиме, при этом фор-

мируемый подзатворный диэлектрик обладает пренебрежимо малой проводимостью и при рассмотрении теоретических моделей величина проводимости диэлектрика, как правило, принимается равной нулю [2, 3]. В последнее время возник интерес к структурам, которые могут работать при постоянном смещении за счет наличия подзатворного резистивного слоя конечной проводимости [5].

В этой связи рассмотрение кинетики формирования фотоответа в лавинном МДП-фотоприемнике представляется достаточно интересным, так как позволит выработать конкретные рекомендации при их разработке.

Цель данной работы — теоретическое и экспериментальное исследования влияния электрофизических параметров МРП-структур с подзатворным резистивным слоем на кинетику импульса фотоответа в лавинном режиме.

Как и в случае подзатворного диэлектрика [2], для вывода аналитических соотношений введем следующие допущения: 1) легирующая примесь распределена равномерно по объему полупроводника; 2) рекомбинацией носителей в области пространственного заряда (ОПЗ) полупроводника можно пренебречь; 3) толщина инверсионного слоя на границе раздела диэлектрик — полупроводник пренебрежимо мала; 4) подвижные носители не оказывают влияния на распределение электрического поля в ОПЗ полупроводника, которое идентично распределению поля в резком  $p-n$ -переходе; 5) коэффициент лавинного умножения существенно больше единицы. Данные допущения в достаточной степени удовлетворяются в диапазонах рассматриваемых параметров, представляющих практический интерес.

В общем случае задача прохождения тока в МРП-структуре сводится к совместному использованию уравнения непрерывности и уравнения Пуассона, решая которые можно записать соотношения для полного падения напряжения

$$U(t) = (ePW - Q_{in})/C_d + \varphi_s + ISR \quad (1)$$

и плотности тока в квазинейтральной области полупроводника

$$I = i_t M + ePdW/dt, \quad (2)$$

где  $e$  — заряд электрона;  $P$  — концентрация примеси акцепторов (или в случае полупроводника  $n$ -типа — доноров) в подложке;  $W$  — ширина ОПЗ;  $Q_{in}$  — плотность заряда инверсионного слоя на единицу площади;  $C_d$  — удельная емкость диэлектрика;  $\varphi_s$  — поверхностный потенциал полупроводника;  $S$  — площадь структуры;  $R$  — сопротивление нагрузки;  $t$  — время;  $M$  — коэффициент умножения темнового лавинного процесса, который с учетом соотношения Миллера можно представить в виде

$$M = [1 - (\varphi_s/\varphi_n)^m]^{-1}, \quad (3)$$

где  $\varphi_n$  — поверхностный потенциал полупроводника, при котором  $M = \infty$ ;  $m$  — постоянный для данной концентрации примеси коэффициент. Первое слагаемое в уравнении (1) представляет собой падение напряжения на диэлектрике ( $U_d$ ), а третье — на сопротивлении нагрузки ( $U_r$ ). В уравнении (2) первое слагаемое учитывает лавинную составляющую ( $I_l$ ) полного тока, второе — составляющую, обусловленную изменением ширины ОПЗ.

В режиме неравновесного обеднения поверхностный потенциал определяется выражением

$$\varphi_s = ePW^2/2\epsilon_s\epsilon_0, \quad (4)$$

где  $\epsilon_s$  — относительная диэлектрическая проницаемость полупроводника;  $\epsilon_0$  — диэлектрическая проницаемость вакуума. Следующее выражение учитывает то обстоятельство, что скорость изменения заряда инверсионного слоя определяется притоком носителей, образовавшихся вследствие ударной ионизации, и их оттоком через резистивную диэлектрическую пленку:

$$dQ_{in}/dt = -i_t M + i_c, \quad (5)$$

где  $i_c$  — плотность сквозного тока неосновных носителей через диэлектрик. Его величина для стационарного случая составляет  $U_{dg_e}$  ( $g_e$  — компонента проводимости пленки диэлектрика единичной площади для потока электронов).

Таким образом, уравнения (1)–(5) составляют полную систему, описывающую протекание лавинного процесса в МРП-структуре. Учитывая условие  $M \gg 1$ , соотношение (5) может быть записано в следующем виде:  $M \approx \varphi_n/m(\varphi_n - \varphi_s)$ . Погрешность такого приближения при  $M > 10$  и  $m = 3$  составляет менее 5 %. Далее, дифференцируя уравнение (1) по времени и исключая члены  $Q_{nn}$ ,  $\varphi_s$  и  $W$ , получаем

$$\begin{cases} \tau d(i_t/I_n)/dt = (mRS/\varphi_n)(I - i_c + \tau dI/dt - C_d dU/dt), \\ \tau(d^2i_c/dt) = g_{ed}RS(I - i_c), \end{cases} \quad (6)$$

где

$$I_n = I + \varepsilon_s \varepsilon_0 / C_d W_n (I - i_c + \tau dI/dt - C_d dU/dt),$$

$$C_s = \varepsilon_s \varepsilon_0 / W_n,$$

$C_s$  — емкость ОПЗ полупроводника;  $W_n$  — ширина ОПЗ, соответствующая поверхностному потенциалу  $\varphi_n$ ;  $g_{ed}$  — компонента дифференциальной проводимости диэлектрической пленки, значение которой может отличаться от  $g_e$ ,  $\tau = RSC_d$ .

Данные соотношения позволяют получить выражение для формы импульса фотоответа. Для этого предположим, что на МРП-структуре подается постоянное напряжение питания, величина которого достаточна для образования лавинного процесса. В момент времени  $t = 0$  на структуру подается световой поток постоянной малой интенсивности. При этом полный, лавинный, сквозной и темновой токи получат малые приращения и их можно представить в виде  $I = I_0 + \Delta I$ ;  $I_n = I_{n0} + \Delta I_n$ ;  $I_c = I_{c0} + \Delta I_c$ ;  $i_t = i_{t0} + \Delta i_t$ . Далее из (6) с учетом того, что  $I_0 = I_{n0} = I_{c0}$ ;  $\Delta i_t = g_{hd}/g_{ed}\Delta I_c$  ( $g_{hd}$  — компонента дифференциальной проводимости диэлектрической пленки для дырок), нетрудно получить следующее дифференциальное уравнение:

$$\tau_3 d^3 \Delta I / dt^3 + A \tau^2 d^2 \Delta I / dt^2 + B \tau d \Delta I / dt = 0,$$

где  $A = 1 + g_{ed}RS + C_d/C_s [1 + (I_0^2/i_{t0}) (mRS/\varphi_n)]$ ,  $(7)$

$$B = C_d/C_s [(I_0^2 mRS/i_{t0} \varphi_n) (1 + g_{ed}RS + g_{ed}RS - g_{hd}RS I_0/i_{t0})].$$

Начальные условия для решения уравнения (7) имеют вид

$$\begin{aligned} \Delta I(0) &= 0, \\ \tau d \Delta I(0) / dt &= C_d J_0 i_\Phi / C_s i_{t0}. \end{aligned} \quad (8)$$

Второе из них найдено с помощью соотношения для лавинной составляющей тока из (6) с учетом того, что ее изменение в момент времени  $t = 0$  составляет  $\Delta I_n = M i_\Phi = I_{n0} i_\Phi / i_{t0}$ . Таким образом, с учетом (8) решение запишется следующим образом:

$$\begin{aligned} \Delta I &= (i_\Phi I_0 / i_{t0}) (C_d g_{ed} RS / C_s B) \{1 + \tau_2 / (\tau_2 - \tau_1) [\tau / g_{ed} RS \tau_2 - 1] e^{-t/\tau_2} - \\ &- [\tau_1 / (\tau_2 - \tau_1)] [\tau / g_{ed} RS \tau_1 - 1] e^{-t/\tau_1}\}, \end{aligned} \quad (9)$$

где

$$\begin{aligned} \tau_1 &= \tau [A/2 + \sqrt{A^2/4 - B}]^{-1}, \\ \tau_2 &= \tau [A/2 - \sqrt{A^2/4 - B}]^{-1}. \end{aligned}$$

Анализ полученного соотношения показывает, что после первоначально резко возрастающего участка (передний фронт определяется постоянной времени  $\tau_1$ ) должно наблюдаться падение фототока (с постоянной времени  $\tau_2$ ) до некоторого стационарного значения, соответствующего новому устойчивому состоянию (рис. 1, а, кривая 1). Такое поведение

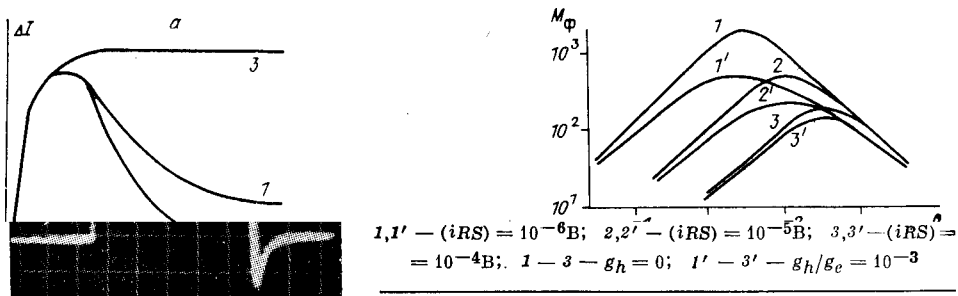


Рис. 1. Форма импульса фотоответа при конечном  $g_e$  (1),  $g_e \rightarrow 0$  (2),  $g_e \rightarrow \infty$  (3). (а); динамика импульса фотоответа МДП-структуры с проводящим диэлектриком в лавинном режиме при постоянном напряжении смещения:  $U = 70$  В (б).

Коэффициент усиления  $\sim 10^3$ , скорость горизонтальной развертки 50 мкс/дел.

фотоответа объясняется падением поверхностного потенциала (а следовательно, и коэффициента лавинного умножения) за счет накопления инверсионного слоя на границе раздела, вследствие чего происходит уменьшение как непосредственно составляющей фототока, так и темновой составляющей. Время, за которое фотоответ достигает максимума, составляет

$$t_{\max} = [\tau_1 \tau_2 / (\tau_2 - \tau_1)] \ln\{(\tau/\tau_1 - g_{ed}RS)/(\tau/\tau_2 - g_{ed}RS)\}. \quad (10)$$

Такое поведение фотоответа является промежуточным между двумя предельными случаями. Первый соответствует обычной МДП-структуре с непроводящим окисным слоем, т. е.  $g_e = g_{ed} = g_h = g_{hd} = 0$ . При этом постоянная составляющая в соотношении (9) отсутствует, а форма фотоответа (см. рис. 1, а, кривая 2) полностью соответствует режиму устойчивого лавинного процесса [4], когда на МДП-струкутуру подается линейно нарастающее напряжение с крутизной  $\alpha$ , а ток  $I_0$  составляет величину  $\alpha C_0$ . Второй предельный случай имеет место, когда проводимость окисного слоя устремляется к  $\infty$ , что соответствует обычному фотоприемнику с  $p-n$ -переходом, нагруженным на внешнее сопротивление  $R$ . Зависимость фототока от времени при этом принимает классический вид, присущий фотоприемникам без обратной электрической связи (см. рис. 1, а, кривая 3).

С целью установления других особенностей усиления фототока в МРП-структурах с проводящим диэлектриком в соответствии с (9) и (10) были произведены численные расчеты, результаты которых представлены на рис. 2. При этом предполагалось, что темновой генерационный ток, инициирующий лавинный процесс, имеет две составляющие. Первая из них ( $i$ ) обусловлена термополевой генерацией электронно-дырочных пар в объеме полупроводника и на границе раздела и не зависит от времени. Вторая составляющая представляет собой поток дырок, движущихся от металлического электрода через диэлектрик и инжектируемых электрическим полем в полупроводник. Ее величина определяется напряжением на диэлектрической пленке и может быть представлена в виде  $g_h I_c / g_e$ . Кроме того, считалось, что  $g_e = g_{ed}$  и  $g_h = g_{hd}$ . Из рисунка видно, что вторая особенность усиления фототока в таких структурах заключается в «куполообразной» зависимости коэффициента усиления ( $M_\Phi = \Delta I(t_{\max})/i_\Phi$ ) от величины напряжения  $U$ , создаваемого на сопротивлении нагрузки сквозным током через диэлектрик в стационарном режиме и однозначно определяемого внешним смещением. Максимально реализуемое значение  $M_\Phi$  определяется как величиной произве-

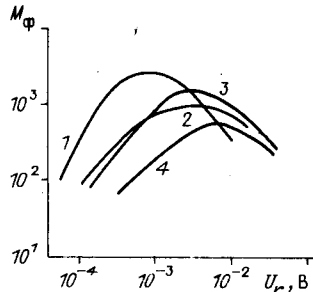


Рис. 3. Экспериментальные зависимости коэффициента усиления фототока МДП-структур с проводящим диэлектриком от величины напряжения  $U_r$ :

1 —  $R = 10$  кОм,  $S = 0,1$   $\text{мм}^2$ ; 2 —  $R = 100$  кОм,  $S = 0,1$   $\text{мм}^2$ ; 3 —  $R = 10$  кОм,  $S = 1$   $\text{мм}^2$ ; 4 —  $R = 100$  кОм,  $S = 0,1$   $\text{мм}^2$  + фоновая за светка

дения  $iRS$ , так и дырочной компонентой проводимости диэлектрика  $g_d$ . Электронная компонента проводимости  $g_e$  какого-либо ощутимого влияния на данную характеристику не оказывает. После подстановки (10) в (9) и исследования коэффициента усиления как функции от переменной  $U_r$  нетрудно установить, что оптимальное значение  $U_r^{\text{опт}}$ , соответствующее максимуму рассматриваемой зависимости, составляет величину

$$U_r^{\text{опт}} = \sqrt{(1 + C_s/C_d) \Phi_0 iRS/m}, \quad (11)$$

зависящую только от произведения  $iRS$ .

Экспериментальные исследования проводились на образцах лавинных МРП-фотоприемников, сформированных на подложках монокристаллического кремния  $p$ -типа ориентации (100) и с концентрацией примеси  $2 \cdot 10^{16}$  см $^{-3}$ . В качестве резистивного слоя использовали двуокись кремния толщиной  $0,15 \div 0,2$  мкм, полученную методом широлитического разложения тетраэтоксисилана при 600 К. В качестве полевого электрода использовались пленки никеля, нанесенные термическим распылением через маску. Измерения кинетики фотоответа проводились на установке, описанной в [1]. Источником световых импульсов служил светодиод АЛ310А с длиной волны  $\lambda = 0,68$  мкм и передним фронтом нарастания не хуже 30 нс.

Полученные экспериментальные результаты находятся в хорошем соответствии с теоретическими. Так, форма импульса фотоответа соответствует описанной выше (рис. 1, б). Зависимость коэффициента усиления от напряжения  $U_r$  (а следовательно, и от величины внешнего смещения) также имеет «куполообразную» форму с максимумом (рис. 3). Увеличение сопротивления нагрузки  $R$  (кривые 1, 2) или площади структуры  $S$  (кривые 1, 3) в 10 раз приводит к уменьшению максимума зависимости  $M_\Phi(U_r)$  и его сдвигу по оси абсцисс приблизительно на полпорядка, что находится в соответствии с (11).

К аналогичным изменениям (кривые 2, 4) приводит увеличение составляющей темнового генерационного тока  $i$ , инициирующего лавинный процесс, которое имитировалось введением подсветки МРП-структуры с постоянной интенсивностью дополнительного светодиода. Рассчитанные в соответствии с (9) — (11) значения  $U_r^{\text{опт}}$  и  $M_\Phi(U_r^{\text{опт}})$  и наблюдавшиеся экспериментально (кривая 4) отличаются не более чем в 2 раза. При этом значение составляющей, которая в данном случае является доминирующей, измерялось в импульсном режиме работы светодиода при напряжении на МРП-структуре, недостаточном для образования лавинного умножения,  $t$  принималось равным 0,3 [4], а остальные константы определялись экспериментально аналогично тому, как это описано в [2]. Сравнить экспериментальные кривые 1—3 с теоретическими не представляется возможным из-за отсутствия данных о составляющих темнового генерационного тока.

В заключение следует отметить еще один важный момент, связанный с выбором проводимости резистивной пленки. С одной стороны, для достижения максимального значения коэффициента умножения необходимо, чтобы сквозной ток через нее составлял величину  $U_r^{\text{опт}}/R$ . Для достаточно низкой проводимости такого слоя это условие будет выполнять-

ся лишь при больших внешних смещениях, что приведет к его пробою. С другой стороны, увеличение его проводимости вызовет рост дырочной составляющей сквозного тока, а следовательно, и уменьшение коэффициента усиления. Поэтому оптимальной проводимостью резистивной пленки можно считать такую, при которой данное значение сквозного тока устанавливается при напряжении возникновения лавинного процесса. Нетрудно установить, что в этом случае удельная проводимость пленки составляет

$$\sigma = g_e d = di (1 + C_d/C_s) / 2mU_r^{\text{опт}}$$

( $d$  — толщина окисла), а наиболее интересный с практической точки зрения ее диапазон находится в пределах  $d (10^{-6} \div 10^{-4}) \text{ Ом}^{-1} \cdot \text{см}^{-2}$ .

Таким образом, впервые получено аналитическое выражение, описывающее форму импульса фотоответа лавинного МРП-фотоприемника с проводящим окисным слоем при постоянном напряжении смещения, на основании которого установлены такие основные особенности усиления фототока, как «куполообразная» зависимость коэффициента усиления от величины напряжения  $U_r$ , на сопротивлении нагрузки (а следовательно, и от величины смещения) в стационарном режиме, влияние исходных электрофизических параметров МРП-структурь, ее площади и сопротивления нагрузки на максимально достижимое значение коэффициента усиления и величину напряжения  $U_r$ , при котором такое усиление реализуется. Получено соотношение для оптимального значения компоненты электронной проводимости окисной пленки. Продемонстрировано хорошее соответствие теоретических и экспериментальных данных.

Результаты данной работы могут быть использованы при разработке оптоэлектронных систем с применением МРП-фотоприемников и синтезе передаточных характеристик оптоэлектронных ключевых элементов.

#### СПИСОК ЛИТЕРАТУРЫ

1. Кравченко А. Б., Плотников А. Ф., Шубин В. Э. О возможности создания импульсного лавинного фотоприемника с устойчивым внутренним усилением на основе МДП-структурь // Квантовая электроника. — 1978. — 5, № 9.
2. Пилипович В. А., Осинский В. И., Куликов А. Ю. и др. О темновых генерационных токах, инициирующих лавинный процесс в МДП-структурь // Докл. АН БССР. — 1986. — 30, № 3.
3. Богданов С. В., Кравченко А. Б., Плотников А. Ф., Шубин В. Э. Динамика лавинного процесса в МДП-структуре при нестационарном инициирующем токе. — М., 1987. — (Препр./ФИАН; 253).
4. Bogdanov S. V., Kravchenko A. B., Plotnikov A. F., Shubin V. E. Model of the avalanche multiplication in MIS structures // Phys. Stat. Sol. — 1986. — 93(a), N 4.
5. Гассанов А. Г., Головин В. М., Егоров Ю. М. и др. Кинетика лавинного умножения носителей заряда в структурах типа металл — резистивный слой — полупроводник // Письма в ЖТФ. — 1988. — 14, № 8.

Поступила в редакцию 9 января 1989 г.

УДК 621.37 : 535.42 : 534.8

А. С. ЗАДОРИН, Л. Я. СЕРЕБРЕННИКОВ, С. Н. ШАРАНГОВИЧ  
(Томск)

#### ПЬЕЗОЭЛЕКТРИЧЕСКАЯ АКТИВНОСТЬ УПРУГИХ ВОЛН В ПАРАТЕЛЛУРИТЕ

Среди различных методов возбуждения упругих волн при физических исследованиях в твердых телах и создании акустоэлектронных и акустооптических устройств наиболее простым, технологичным и широкомасштабным является возбуждение звука с поверхности пьезокристалла нерезонансной электродной структурой — поверхностным пьезонпреобразо-